

Research Article

Vol. 14, No. 3, 2024, p. 253-269

## Study on Drying Process of Farmed Shrimp Meat in a Hot Air Convective Dryer and Variation of Some Related Parameters

M. Almaei<sup>1</sup>, S. M. Nassiri<sup>2\*</sup>, M. A. Nematollahi<sup>3</sup>, D. Zare<sup>4</sup>, M. Khorram<sup>5</sup>

1- Ph. D. Student, Department of Biosystems Engineering, School of Agriculture, Shiraz University, Shiraz, Iran

2- Associate Professor, Department of Biosystems Engineering and Seafood Processing Research Center, School of Agriculture, Shiraz University, Shiraz, Iran

3- Associate Professor, Department of Biosystems Engineering, School of Agriculture, Shiraz University, Shiraz, Iran

4- Professor, Department of Biosystems Engineering, School of Agriculture, Shiraz University, Shiraz, Iran

5- Associate Professor, Department of Gas Engineering, School of Chemical, Petroleum and Gas Engineering, Shiraz University, Shiraz, Iran

(\*- Corresponding Author Email: [nasiri@shirazu.ac.ir](mailto:nasiri@shirazu.ac.ir))

Received: 10 February 2023

Revised: 16 April 2023

Accepted: 30 April 2023

Available Online: 31 August 2024

### How to cite this article:

Almaei, M., Nassiri, S. M., Nematollahi, M. A., Zare, D., & Khorram, M. (2024). Study on Drying Process of Farmed Shrimp Meat in a Hot Air Convective Dryer and Variation of Some Related Parameters. *Journal of Agricultural Machinery*, 14(3), 253-269. (in Persian with English abstract). <https://doi.org/10.22067/jam.2023.80905.1145>

### Introduction

Drying shrimp is one of the storage methods that, while increasing the shelf life, leads to the production of a versatile product with various uses, from consumption as snacks to use as one of the main components of foods. Drying is preferred over other preservation methods because it offers numerous advantages, including extended shelf life, enhanced microbial stability, convenient consumption, reduced transportation costs, increased value, and product diversity.

To accurately model these processes and thus obtain information on factors such as shelf life and energy consumption, it is necessary to determine the product's initial and final temperatures, its geometry and dimensions, and its thermo-physical characteristics. Simulation of different drying processes requires accurate estimation of the effective moisture diffusion coefficient, which is highly dependent on temperature and humidity. Its dependence can be shown by an equation with an Arrhenius structure as an empirical function of humidity and temperature, or by considering the activation energy.

It is necessary to have sufficient knowledge about heat and mass transfer characteristics, such as diffusion or penetration coefficient and the heat transfer coefficient to estimate the final temperature and drying time. This study investigated the drying process of peeled farmed shrimp (*Litopenaeus vannamei*) using a convective hot air dryer. Various parameters such as shrinkage and the effective moisture diffusion coefficient were examined.

### Materials and Methods

A drying device was built to conduct experimental studies on drying shrimp samples. The experiments were conducted on sliced shrimp meat samples at temperatures of 40, 50, and 60 degrees Celsius, with a constant air velocity of 1.5 m/s. The experimental drying models were based on diffusion theory. In these models, it is assumed that the resistance to moisture diffusion occurs from the outer layer of the food. In most cases, Fick's second law was used to describe the phenomenon of moisture penetration.

The study used the standard method of immersion in toluene to measure volume changes in the samples. During the drying process, the volume of the samples was measured at 45-minute intervals, and their volume changes were calculated. To measure the moisture content of the samples, each test started by recording the initial weight of the samples using a digital scale with an accuracy of  $\pm 0.001$  g. During the drying process, the



©2024 The author(s). This is an open access article distributed under [Creative Commons Attribution 4.0 International License \(CC BY 4.0\)](https://creativecommons.org/licenses/by/4.0/).

<https://doi.org/10.22067/jam.2023.80905.1145>

samples were weighed each time their volume was measured.

Shrinkage during the drying process is commonly modeled by finding a relationship between shrinkage and moisture, using linear and non-linear models. In most cases, effective permeability is defined as a function of humidity and temperature. For this purpose, curve-fitting methods were employed to analyze the data collected from experimental tests. The appropriate function was extracted by incorporating the Arrhenius equation, which is applicable to most food items.

### Results and Discussion

Based on the results of statistical indices, the linear model was the best model for depicting the relationship between shrinkage changes versus moisture ratio changes among the various experimental models evaluated for shrinkage and drying kinetics. Similarly, the Weibull distribution demonstrated superior performance in expressing variations in moisture ratio over time. A moisture dependent experimental model was used to express the variations in the apparent density of shrimp, resulting in a computed range of 1017-1117 kg m<sup>-3</sup>. Furthermore, an Arrhenius equation was derived to express the effect of moisture content and temperature on the effective diffusion coefficient of shrimp. According to the results, the effective diffusion coefficient of shrimp exhibited variations ranging from  $0.08 \times 10^{-9} \text{ m}^2 \text{ s}^{-1}$  to  $7.39 \times 10^{-9} \text{ m}^2 \text{ s}^{-1}$ . When deriving the effective diffusion coefficient, the impact of the number of terms in Fick's second law on the variation of the moisture ratio was studied. The findings revealed that increasing the number of terms beyond 100 did not significantly affect the model's outputs.

### Conclusion

The linear model had the highest coefficient of determination ( $R^2$ ) among the evaluated shrinkage models, as well as the lowest root mean square error and sum of square error (SSE). This makes it the most optimal model for interpreting shrinkage at the tested temperature levels. The Weibull distribution experimental model proved to be the most suitable for expressing changes in the moisture ratio of shrimp meat slices over time within the evaluated temperature range. The Arrhenius model accurately predicts changes in the effective diffusion coefficient of shrimp slices with respect to temperature and moisture content within the tested temperature range.

**Keywords:** Drying, Effective moisture diffusion coefficient, Shrimp meat, Shrinkage

## مقاله پژوهشی

جلد ۱۴، شماره ۳، پاییز ۱۴۰۳، ص ۲۶۹-۲۵۳

## مطالعه روند خشک‌شدن گوشت میگوی پرورشی در خشک‌کن هوای گرم همرفتی و تغییرات برخی فراسنجه‌های مرتبط با آن

محسن المعی<sup>۱</sup>، سید مهدی نصیری<sup>۲\*</sup>، محمد امین نعمت الهی<sup>۳</sup>، داریوش زارع<sup>۴</sup>؛ محمد خرم<sup>۵</sup>

تاریخ دریافت: ۱۴۰۱/۱۱/۲۱

تاریخ پذیرش: ۱۴۰۲/۰۲/۱۰

## چکیده

روند خشک‌کردن میگوی پرورشی (*Litopenaeus vannamei*) پوست‌گیری شده در یک خشک‌کن هوای گرم همرفتی برای تعیین فراسنجه‌های چروکیدگی، سینتیک خشک‌شدن، جرم حجمی و ضریب انتشار مؤثر رطوبت مورد مطالعه قرار گرفت. بدین منظور نمونه‌های میگو به شکل ورقه در سه سطح دمای ۴۰، ۵۰ و ۶۰ درجه سلسیوس با سرعت ثابت هوای ۱/۵ متر بر ثانیه در دستگاه خشک‌کن ساخته شده، خشک شدند و وزن و حجم نمونه‌ها طی فرآیند خشک‌شدن، برای مدل‌سازی مورد استفاده قرار گرفتند. از بین مدل‌های تجربی در نظر گرفته شده برای چروکیدگی و سینتیک خشک‌کردن، مدل خطی بهترین مدل برای بیان تغییرات چروکیدگی در مقابل تغییرات نسبت رطوبت و مدل توزیع ویبال به‌عنوان بهترین مدل برای بیان تغییرات نسبت رطوبت-زمان انتخاب شد. از یک مدل تجربی وابسته به رطوبت برای بیان تغییرات جرم حجمی ظاهری میگو استفاده شد که با تخمین ضرایب آن، دامنه  $1050-1117 \text{ kg m}^{-3}$  به‌دست آمد. افزون بر آن برای بیان اثر محتوای رطوبت و دما بر ضریب انتشار مؤثر رطوبت میگو یک رابطه آرنیوسی استخراج شد. بر اساس نتایج، تغییرات ضریب انتشار مؤثر رطوبت میگو در دامنه  $0.08 \times 10^{-9} \text{ m}^2 \text{ s}^{-1}$  تا  $7/39 \times 10^{-9} \text{ m}^2 \text{ s}^{-1}$  به‌دست آمد. اثر بسط تعداد جملات قانون دوم فیک بر تغییرات نسبت رطوبت برای معادله ضریب انتشار مؤثر، مورد مطالعه قرار گرفت و مشخص شد افزایش تعداد جملات بیشتر از ۱۰۰ جمله اثر قابل‌ملاحظه‌ای در دقت خروجی مدل ندارد و بر همین اساس تعداد صد جمله برای تخمین ضریب انتشار رطوبت توصیه می‌شود. همچنین برای تعیین این ضریب، اثر چروکیدگی به‌عنوان عامل تاثیرگذار باید لحاظ گردد.

واژه‌های کلیدی: چروکیدگی، خشک‌کردن، ضریب انتشار مؤثر رطوبت، گوشت میگو

## مقدمه

مصرف غذاهای دریایی از زمانی که به‌عنوان منابع مهم مواد

مغذی برای سلامتی انسان شناخته شدند، در حال افزایش است. پروتئین، چربی‌ها و ترکیبات فعال زیستی در غذاهای دریایی دارای جنبه‌های منحصر به فردی هستند که آن‌ها را از حیوانات خشک‌زی متفاوت می‌کند (Azimi, 2016). آبی‌پروری یکی از فعالیت‌های اقتصادی مهم در بسیاری از کشورها است که منجر به اشتغال‌زایی، توسعه اقتصادی، کاهش آلودگی منابع دریایی طبیعی و بهبود وضعیت ایمنی غذایی می‌گردد. میگو از مهم‌ترین غذاهای دریایی است که غنی از پروتئین، اسیدهای چرب غیراشباع، کلسیم و بسیاری از ویتامین‌ها بوده و به اشکال مختلف در تهیه مواد غذایی در نقاط گوناگون جهان مورد استفاده قرار می‌گیرد (Mohebi, Akbarzadeh, Shahidi & Porshhabi, 2007).

میزان کل صید و آبی‌پروری در ایران در سال ۱۳۹۸، بالغ بر یک میلیون و دویست هزار تن بوده است که سهم میگو در آن بیش از ۵۶۰۰۰ تن است. از این مقدار ۹۹۳۷ تن به‌صورت صید در آب‌های

- ۱- دانشجوی دکتری بخش مهندسی بیوسیستم، دانشکده کشاورزی، دانشگاه شیراز، شیراز، ایران
  - ۲- دانشیار، بخش مهندسی بیوسیستم و مرکز پژوهشی فرآوری آبزیان، دانشکده کشاورزی، دانشگاه شیراز، شیراز، ایران
  - ۳- دانشیار، بخش مهندسی بیوسیستم، دانشکده کشاورزی، دانشگاه شیراز، شیراز، ایران
  - ۴- استاد، بخش مهندسی بیوسیستم، دانشکده کشاورزی، دانشگاه شیراز، شیراز، ایران
  - ۵- دانشیار بخش مهندسی گاز، دانشکده مهندسی شیمی نفت و گاز، دانشگاه شیراز، شیراز، ایران
- \*- نویسنده مسئول:  
(Email: [nasiri@shirazu.ac.ir](mailto:nasiri@shirazu.ac.ir))

 <https://doi.org/10.22067/jam.2023.80905.1145>

جنوب کشور، ۴۶۱۱۴ تن به صورت پرورش در آب‌های شور و حدود ۱۶ تن به صورت پرورش در آب شیرین و شاه‌میگو بوده است (Anonymous, 2020). از این میزان تولید بیش از ۹۵٪ آن صادر می‌گردد که بخش اعظم آن را میگوی منجمد تشکیل می‌دهد. اما نکته حائز اهمیت در نظر گرفتن متنوع‌سازی بازارهای عرضه و نیز تولید محصولات با ارزش افزوده بالا و تأکید بر مسائل کیفی است (Mohebi et al., 2007).

خشک کردن به سبب مزایایی از قبیل زمان ماندگاری طولانی، پایداری میکروبی، قابلیت مصرف آسان، کاهش هزینه‌های حمل و نقل، ارزش افزوده بالا و تنوع محصول نسبت به سایر روش‌های نگهداری ترجیح داده می‌شود (Radhakrishnan, 1997).

خشک کردن میگو یکی از روش‌های نگهداری است که ضمن افزایش مدت زمان ماندگاری، منجر به تولید محصولی متنوع و با کاربردهای متفاوت، از مصرف به عنوان تنقلات تا کاربرد به عنوان یکی از اجزای اصلی غذاها می‌گردد. خشک کردن میگو در اکثر نقاط جهان و نیز مناطق جنوبی ایران به صورت سنتی (با یا بدون جوشاندن و خشک کردن در آفتاب) انجام می‌گیرد. اما خشک کردن سنتی با آفتاب باعث آلودگی گوشت میگو با گرد و غبار، عوامل میکروبی و حشرات خواهد شد و همچنین فرآیند خشک کردن فقط در طول روز امکان‌پذیر است (Wisairom et al., 2018). این در حالی است که تولیدکنندگان در جستجوی راه‌هایی برای تولید محصولی با کیفیت، شکل، اندازه، رنگ و پذیرش کلی مناسب هستند که به شدت قیمت محصول را تحت تأثیر قرار می‌دهد (Mohebi et al., 2007).

رویکردهای مختلف خشک کردن ممکن است بر میزان کیفیت فیزیکی و تغذیه‌ای گوشت میگو اثرگذار باشد، بنابراین اثر روش‌های مختلف خشک کردن میگو باید روشن شود زیرا تغییراتی که در نتیجه خشک شدن رخ می‌دهد احتمالاً بر کیفیت و در نتیجه ارزش نهایی محصول در بازار تأثیر می‌گذارد (Akonor, Ofori, Dziedzoave & Kortei, 2016). برای به حداقل رساندن کاهش وزن و کنترل تغییرات کیفی مرتبط با گرما، فرآیند پخت‌وپز ماهی و سایر آبیان را می‌توان با استفاده از مدل‌سازی ریاضی با معادلات انتقال گرما و جرم بهینه کرد (Blikra, Skipnes & Feyissa, 2019). از بررسی تجربی و عددی فرآیند خشک کردن میگو و فراسنجه‌های به دست آمده در فرآیندهای انتقال برای شبیه‌سازی توزیع دما و رطوبت در داخل میگو با کمک نرم‌افزار برای شرایط خشک کردن می‌توان استفاده نمود. واکاوی اطلاعات حاصل از حل عددی فرآیند خشک کردن میگو بهینه‌سازی مصرف انرژی در فناوری‌های مختلف خشک کردن آن را امکان‌پذیر می‌سازد (Nguyen, Ngo & Le, 2019).

شبیه‌سازی فرآیندهای مختلف خشک کردن نیازمند تخمین دقیق ضریب انتشار مؤثر رطوبت است (Anabel, Celia, German &

Rosa, 2018). این فراسنجه به شدت به دما و میزان رطوبت وابستگی دارد که سطح وابستگی آن معمولاً با معادله‌ای با ساختار آرنیوسی به عنوان تابعی تجربی از رطوبت و دما و یا با در نظر گرفتن انرژی فعال‌سازی نشان داده می‌شود (Komolafe, Oluwaleye, Adejumo, Waheed & Kuye, 2018). هدف از خشک کردن میگو کاهش رطوبت به حداقل مقدار ممکن و مهار آنزیم‌ها و سایر واکنش‌های بیولوژیکی است (Al-Hilphy et al., 2022). از روش‌های متفاوتی برای خشک کردن میگو در پژوهش‌های مختلف نظیر، مایکروویو (Farhang, Hossinpour, Darvishi & Nargesi, 2011)، آون و خلایسی (Ersan & Tugrul, 2020)، ترکیبی خورشیدی-گازی (Murali et al., 2021) و مادون قرمز (Al-Hilphy et al., 2022) استفاده شده است. نتایج حاصل از این مطالعات نشان داده است که روش‌های مختلف خشک کردن ممکن است خواص حرارتی، ضریب انتشار، کیفیت فیزیکی و تغذیه‌ای میگو را به صورت متفاوت تحت تأثیر قرار دهد (Akonor, Ofori, Dziedzoave & Kortei, 2016). بنابراین شناخت و بررسی روند تغییرات مواردی نظیر ضریب انتشار از اهمیت به‌سزایی برخوردار است. روش همرفتی با توجه به سادگی، هزینه کم، انعطاف‌پذیری و سهولت کنترل تجهیزات یکی از روش‌های متداول برای خشک کردن محصولات مختلف نظیر میگو است (Ersan & Tugrul, 2020)، که در این پژوهش مورد استفاده قرار گرفت.

خشک کردن مواد غذایی فرآیندی پیچیده است که در آن به‌طور هم‌زمان پدیده‌های انتقال حرارت و جرم اتفاق می‌افتد و یکی از مهم‌ترین تغییرات فیزیکی که مواد غذایی در طول خشک شدن به آن دچار می‌شوند، کاهش حجم خارجی یا چروکیدگی<sup>۱</sup> است. چروکیدگی میزان کاهش حجم محصول را نسبت به حجم اولیه نشان می‌دهد و شاخصی از خصوصیات ظاهری و شدت تغییرات ساختمانی ماده غذایی است. از دست دادن آب و گرمایش، باعث ایجاد تنش بر ساختار سلولی مواد غذایی شده و در نهایت منجر به تغییر شکل و کاهش در ابعاد ماده غذایی می‌گردد. بررسی مدل‌های خشک کردن بدون در نظر گرفتن چروکیدگی منجر به نتایج قابل اطمینانی نخواهد شد. مطالعات نشان می‌دهد که داده‌های تجربی ناشی از خشک کردن مواد غذایی انطباق مطلوبی با مدل‌های خشک‌کردنی که در آن‌ها چروکیدگی در نظر گرفته شده است، دارند. دو رویکرد کاملاً متفاوت به منظور مدل کردن چروکیدگی فرآیند خشک کردن مواد غذایی اتخاذ شده است. رویکرد اول شامل یک برازش تجربی از داده‌های حاصل از چروکیدگی به عنوان تابعی از مقدار رطوبت است. رویکرد دوم بیشتر بنیادی و مبتنی بر تفسیر فیزیکی سامانه‌های غذایی است و تلاش

### آماده سازی نمونه ها

در پژوهش حاضر از میگوی پرورشی وانامی (*Litopenaeus vannamei*) یا به اصطلاح گونه سفید غربی برای بررسی تغییرات سینتیک خشک کردن و تعیین مناسب ترین مدل چروکیدگی استفاده شد. نمونه های تازه میگو پس از تهیه از مزارع پرورش میگو واقع در استان بوشهر و برش سر و دم، پوست گیری شده و در دمای ۵ درجه سلسیوس نگهداری شدند. نمونه های مورد استفاده در آزمایش ها به شکل ورقه هایی با ابعاد تقریبی  $2 \times 5$  سانتی متر و ضخامت  $0.5$  سانتی متر با تیغ برش زده شدند (شکل ۱).

### خشک کردن نمونه ها

برای انجام آزمایش های تجربی خشک کردن نمونه های میگو، یک دستگاه خشک کن ساخته شد (شکل ۲). خشک کن مجهز به یک پنکه با قدرت هوادهی حداکثر  $790 \text{ m}^3 \text{ hr}^{-1}$  ساخت شرکت دمنده، ایران (BEB-25/10L4S) و همچنین دو عدد المنت حرارتی با توان مجموع  $2000$  وات بود. برای اندازه گیری دما و رطوبت هوای ورودی و خروجی خشک کن از دو عدد مازول سنسور دما و رطوبت (Am2301) ساخت کشور چین با دقت اندازه گیری دمای  $\pm 0.5$  درجه سلسیوس و رطوبت  $\pm 3$  درصد در ورودی هوا به پنکه و خروجی خشک کن استفاده شد. برای اندازه گیری تغییرات وزن نمونه ها از بارسنج Zemic L6D-C3 ساخت کشور چین با ظرفیت حداکثر  $2/5 \text{ kg}$  و دقت  $\pm 0.1 \text{ gr}$  استفاده گردید. این تجهیزات از طریق برنامه ریزی برد آردینو با قابلیت تنظیم فواصل زمانی بین داده برداری ها در طول آزمایش ها، دما و رطوبت هوای ورودی و خروجی و همچنین وزن نمونه ها را به صورت برخط اندازه گیری کرده و روی یک کارت حافظه (SD) داده ها را ذخیره می کرد. کنترل دمای خشک کن از طریق ترموستات (Autonics TC4Y) با کمک سنسور حرارتی PT-100 نصب شده در کانال اصلی خشک کن صورت می گرفت. بر اساس پژوهش های پیشین بهترین محدوده دمای خشک کردن برای آبزیان و همچنین میگو  $40-80^\circ \text{C}$  است (Blikra et al., 2019; Nguyen et al., 2019). بنابراین آزمایش ها بر روی نمونه های ورقه گوشت میگو در دماهای  $40$ ،  $50$  و  $60$  درجه سلسیوس و سرعت هوای ثابت  $1/5$  متر بر ثانیه انجام گرفت.

می کند تا تغییرات هندسی را بر اساس قوانین تبدیل جرم و حجم پیش بینی کند (Mayor & Sereno, 2004). علاوه بر این چروکیدگی باعث بروز تغییرات در خواص فیزیکی و به خصوص در جرم حجمی می شود. جرم حجمی واقعی و ظاهری دو معیار متداول برای تعیین جرم حجمی مواد غذایی هستند (Niamnuy, Devahastin, Soponronnarit & Raghavan, 2008). در اکثر موارد به علت راحتی و سرعت محاسبات از جرم حجمی ظاهری برای بیان تغییرات جرم حجمی استفاده می شود. از آنجا که جرم حجمی ظاهری بستگی به مقدار رطوبت ماده غذایی دارد بعضی از محققین از روابط تجربی وابسته به مقدار رطوبت برای تخمین آن استفاده می کنند (Guiné, 2006).

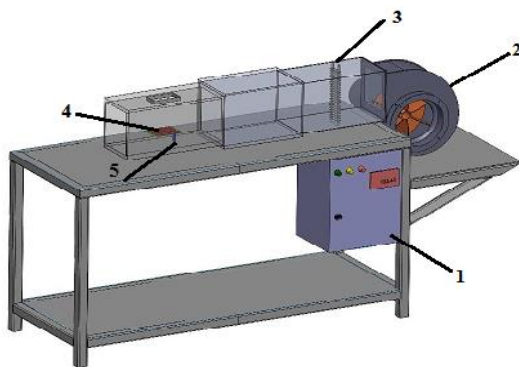
در پژوهش های مختلف مدل چروکیدگی محصولاتی نظیر سیب زمینی (Mulet, Caicia Reverter, Bon & Berna, 2000)، موز (Queiroz & Nebra, 2001)، هویج (Mayor & Sereno, 2004)، گیلاس (Ochoa, Kessler, Pirone, Marquez & DeMichelis, 2002) و گوشت ماهی (Park, 1998) مورد بررسی قرار گرفته اند. خشک کردن میگو با روش ترکیبی هوای گرم و امواج مادون قرمز حدود  $32$  درصد چروکیدگی در محصول خشک شده ایجاد کرد (Tirawanichakul, Na Phatthalung, & Tirawanichakul, 2011). در همین ارتباط افزایش دما باعث افزایش درصد چروکیدگی در میگو می شود (Wang et al., 2018). علی رغم این نتایج، مطالعات محدودی در زمینه مدل چروکیدگی و سایر فراسنجه های مرتبط در زمینه میگو صورت پذیرفته است. بنابراین تعیین صحیح مدل چروکیدگی میگو و تاثیر آن بر رابطه فیک از طریق بسط جملات معادله مرتبط با ضریب انتشار مؤثر رطوبت، نقش مهمی در شناخت و تجزیه و تحلیل دقیق فرآیند خشک کردن میگو بازی می کند. هدف پژوهش حاضر بررسی تجربی فرآیند خشک شدن نمونه میگو و تخمین خواص مرتبط با آن و همچنین تعیین مناسب ترین مدل ریاضی برای فرآیند خشک کردن، چروکیدگی میگو و ضریب انتشار رطوبت میگو با توجه به مدل چروکیدگی با بسط تعداد جملات مناسب از قانون دوم فیک است که از جمله مهم ترین نوآوری این پژوهش به شمار می آید.

### مواد و روش ها

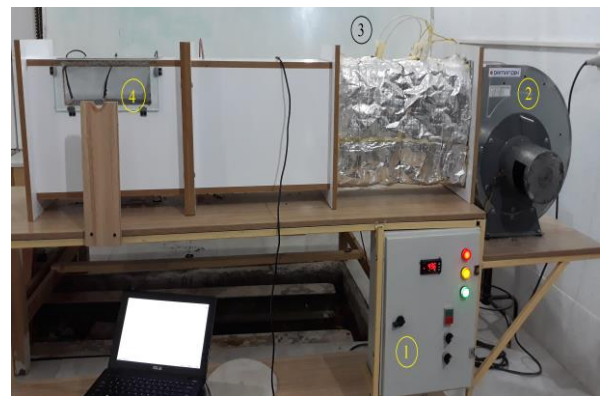


شکل ۱- ابعاد نمونه ورقه تهیه شده از گوشت میگو

Fig.1. Dimensions of a sample slab prepared from shrimp meat



a



b

شکل ۲- (a) طرح‌واره خشک‌کن ساخته‌شده برای خشک‌کردن ورقه‌های گوشت میگو، (b) تصویری از نمای کلی خشک‌کن (۱) واحد کنترل الکتریکی، (۲) پنکه، (۳) المنت‌های حرارتی، (۴) سینی نمونه‌های میگو، (۵) بارسنج

Fig.2. a) Schematic of dryer made for drying shrimp meat slab and b) overall view of dryer  
1) Electrical control unit, 2) Fan, 3) Thermal elements, 4) Shrimp samples tray, and 5) Load cell

که  $\frac{X_t}{X_0}$  همان نسبت رطوبت<sup>۱</sup> (MR) است. رطوبت اولیه ( $X_0$ ) بر مبنای خشک<sup>-۱</sup> (kg water(kg dry solid))، با قرار دادن نمونه در آون  $105^\circ\text{C}$  به مدت ۲۴ ساعت محاسبه شد (Porciuncula, Zotarelli, Carciofi & Laurindo, 2013).

مدل‌های تجربی خشک‌شدن را می‌توان با معادلات زیادی که با مجموعه خاصی از داده‌های آزمایشگاهی سازگاری داشته باشند، بیان کرد. مرسوم‌ترین مدل‌های تجربی که توسط پژوهشگران مختلف برای توصیف فرآیند خشک‌کردن مواد غذایی مورد استفاده قرار گرفته و در پژوهش حاضر نیز مورد بررسی واقع شده‌اند، در جدول ۱ آورده شده‌اند. در این روابط  $a$ ،  $b$ ،  $c$ ،  $k$  و  $n$  ضرایب ثابت مدل‌ها و  $t$  زمان خشک‌کردن بر حسب دقیقه است.

### مدل‌سازی فرآیند خشک‌شدن

اساس مدل‌های تجربی خشک‌شدن بر مبنای نظریه انتشار است. در این مدل‌ها فرض بر این است که مقاومت در مقابل انتشار رطوبت از لایه خارجی ماده غذایی صورت می‌پذیرد (Komolafe *et al.*, 2018). در مدل‌سازی سینتیک خشک‌کردن معمولاً به جای محتوای رطوبت از نسبت رطوبت ( $MR = \frac{X}{X_0}$ ) استفاده می‌شود (Dai, Wang, Ren, Liu & Zhang, 2018). نسبت رطوبت بر حسب زمان با استفاده از مدل‌های ریاضی توصیف می‌شود (Buzrul, 2022). از رابطه (۱) برای این منظور استفاده می‌شود (Zielinska & Aniesrani Delfiya, Murali, Alfiya & Markowski, 2007; Samuel, 2020):

$$\frac{X_t}{X_0} = \exp(-kt) \quad (1)$$

1- Moisture ratio

جدول ۱- مدل های تجربی متداول برای خشک کردن مواد غذایی و محصولات کشاورزی

Table 1- Common empirical models for drying food and agricultural products

مدل Model	معادله equation	منبع Reference
Newton	$MR = \exp(-kt)$	Ceylan, 2008
Henderson & Pabis	$MR = a \exp(-kt)$	Manjeet, 1984
Logarithmic	$MR = a \exp(-kt) + c$	Doymaz, 2008
Logestic	$MR = a/(1 + b)\exp(kt)$	Toğrul & Pehlivan, 2002
Two-term exponential	$MR = a \exp(-kt) + (1 - a) \exp(-kat)$	Sharaf-Eldeen, Blasdel & Hamdy, 1984
Simplified Fick's diffusion	$MR = a \exp(-b(t/c^2))$	Azzouz, Guizani, Jomma & Belghith, 2002
Wang and Singh	$MR = 1 + at + bt^2$	Yi, Wu, Zhang, Li & Luo, 2012
Weibull distribution	$MR = a - b \exp(-kt^n)$	Yi et al., 2012

$$D = [1 \times 10^{-7}, 1 \times 10^{-10}, 5 \times 10^{-11}] \text{ m}^2\text{s}^{-1}$$

سپس در هر مقدار ضریب انتشار رطوبت، اثر تعداد جملات بر اساس مقادیر زیر مورد بررسی قرار گرفت:

$$i = [1, 10, 20, 100, 1000]$$

برای محاسبه رطوبت و حل رابطه (۶) از الگوریتم زیر استفاده شد:

۱- دریافت مقدار گام زمانی

۲- دریافت رطوبت در ابتدای گام زمانی

۳- محاسبه ضریب انتشار بر اساس اطلاعات دریافتی در ابتدای گام زمانی

۴- محاسبه رطوبت در پایان گام زمانی بر اساس رابطه (۳)

۵- در صورت وجود گام زمانی تکرار مجدد مراحل

برای حصول اطمینان از نتایج حاصل شده، اثر چروکیدگی در تغییرات بعد مشخصه یا همان ضخامت ورقه گوشت میگو مطابق رابطه (۴) در نظر گرفته شد (Zielinska & Markowski, 2007):

$$L = L_0 \left( A \frac{X}{X_0} + B \right)^{\frac{1}{3}} \quad (4)$$

که در آن A و B ضرایب استخراج شده از معادله چروکیدگی و  $L_0$  ضخامت اولیه ورقه (برحسب متر) است.

قابلیت نفوذ مؤثر در اغلب موارد بر اساس تابعی از رطوبت و درجه حرارت تعریف می شود. برای این منظور با استفاده از روش های برازش منحنی بر داده های حاصل از آزمایش های تجربی و لحاظ کردن معادله آرنیوس (برای اغلب مواد غذایی) تابع مناسب استخراج شد (Zielinska & Markowski, 2007):

$$D_e = a \exp\left(-\frac{b}{273.15+T} + cX\right) \quad (5)$$

در این معادله T دمای ماده (درجه سلسیوس) و a، b و c ثابت های معادله هستند.

#### مدل سازی چروکیدگی

چروکیدگی (s) طبق تعریف نسبت حجم ظاهری در رطوبت

#### تعیین معادله ضریب انتشار مؤثر رطوبت

انتقال رطوبت در هر ماده غذایی در طی فرآیند خشک کردن موضوع بسیار مهمی است. در اغلب موارد قانون دوم فیک برای توصیف پدیده نفوذ رطوبت به کار می رود (Reyes, Alvarez & Marquardt, 2002):

$$\frac{\partial X}{\partial t} = D_e \frac{\partial^2 X}{\partial x^2} \quad (2)$$

فرض اصلی حاکم بر این معادله ناپایدار بودن فرآیند است، که در آن t زمان، x مختصه مکانی و  $D_e$  ضریب مؤثر انتشار رطوبت است. حل معادله فیک برای یک ورقه در یک بستر لایه نازک و با فرض ضریب انتشار ثابت به صورت زیر است (Hashemi, Mowla & Kazemeini, 2009):

$$\frac{X - X_e}{X_0 - X_e} = \frac{8}{\pi^2} \left[ \sum_{i=1}^{\infty} \frac{1}{(2i-1)^2} \exp\left(- (2i-1)^2 \pi^2 \frac{D_e t}{L^2}\right) \right] \quad (3)$$

که در آن L ضخامت ورقه گوشت میگو (بر حسب متر) است. در بیشتر موارد از جمله اول و به ندرت از بسط دوجمله اول رابطه (۳) برای تخمین ضریب انتشار استفاده می شود (Amankwah, Dzisi, Staten & Boxtel, 2018). در صورتی که زمان خشک شدن و نسبت رطوبت به ترتیب بالای ۷ دقیقه و کمتر از ۰/۳۶ باشد، در بسط یک جمله خطای نسبی در محدوده ۵ درصد خواهد بود. همچنین این مقدار در بسط دوجمله به ترتیب برای زمان خشک شدن و نسبت رطوبت، ۱/۵ دقیقه و ۰/۶۷ است (Pabis, Jayas & Cenkowski, 1998). برای افزایش دقت در محاسبه معادله ضریب انتشار مؤثر رطوبت ورقه گوشت میگو، در پژوهش حاضر برای انتخاب تعداد جمله های مؤثر از رابطه (۳)، ابتدا سه ضریب انتشار ثابت فرضی برای میگو در نظر گرفته شد. برای حصول اطمینان از اینکه ضرایب فرض شده خارج از محدوده نباشند، مطابق تحقیق گزارش شده (Nguyen et al., 2019) مقادیر زیر برای ضریب انتشار مورد بررسی قرار گرفتند:

هم‌زمان با اندازه‌گیری حجم، نمونه‌ها توزین شدند. متداول‌ترین روش برای مدل‌کردن چروکیدگی در طی فرآیند خشک‌کردن، به‌دست آوردن یک رابطه تجربی بین چروکیدگی و رطوبت است که برای این منظور از مدل‌های خطی و غیرخطی استفاده می‌شود (Mayor & Sereno, 2004). در جدول ۲ فهرست متداول‌ترین مدل‌های ریاضی تجربی چروکیدگی که توسط محققین مختلف مورد استفاده قرار گرفته، نشان داده شده است. در روابط ارائه‌شده در این جدول، ضرایب  $a$ ،  $b$ ،  $c$  و  $d$  ثابت‌های مدل‌ها هستند. در پژوهش حاضر نیز از این مدل‌ها برای انطباق با داده‌های تجربی استفاده شد.

نهایی ( $V$ ) به حجم ظاهری در رطوبت اولیه ( $V_0$ ) ماده غذایی است (Ochoa *et al.*, 2002). در پژوهش حاضر برای تعیین تغییرات حجم نمونه از روش استاندارد اندازه‌گیری تغییرات حجم با روش غوطه‌وری استفاده گردید (Zielinska & Markowski, 2007). حجم ابتدایی نمونه‌ها از طریق غوطه‌ور کردن آن‌ها در داخل بشر حاوی تولوئن به‌دست آمد. سپس در طول زمان خشک‌شدن به فواصل ۴۵ دقیقه حجم نمونه‌ها مجدداً اندازه‌گیری شد و تغییرات حجم آن‌ها ( $\Delta v = v_i - v_{i-1}$ ) محاسبه گردید. برای اندازه‌گیری محتوای رطوبتی نمونه‌ها، در ابتدای هر آزمایش وزن نمونه‌ها با ترازوی دیجیتالی با دقت  $\pm 0.001$  گرم ثبت شدند. سپس در طول زمان خشک نمونه‌ها،

جدول ۲- مدل‌های تجربی برای چروکیدگی ورقه‌های گوشت میگو

Table 2- Empirical models for shrimp meat slabs shrinkage

مدل Model	معادله equation	هندسه Geometry	منبع Reference
1	$s = a \frac{X}{X_0} + b$	ورقه، مکعب، استوانه Slab, Cube, Cylinder	Ochoa <i>et al.</i> , 2002
2	$s = a + b \left( \frac{X}{1+X} \right) + \exp\left(c \frac{X}{1+X}\right)$	ورقه، استوانه، نیم‌کره Slab, Cylinder, Hemisphere	Kaminski, Szarycz and Janowicz, 1996
3	$s = a + bX + cX^{\frac{3}{2}} + \exp(kX)$	ورقه slab	Vázquez, Chenlo, Moreira and Costoyas, 1999
4	$s = a + b \frac{X}{X_0} + c \left( \frac{X}{X_0} \right)^2$	ورقه، استوانه Slab, Cylinder	Mayor and Sereno, 2004
5	$s = a \exp\left(\frac{bX}{X_0}\right)$	ورقه، استوانه Slab, Cylinder	Mayor and Sereno, 2004

بهینه‌سازی استفاده گردید. از شاخص‌های آماری ضریب تبیین ( $R^2$ )، ریشه میانگین مربعات خطا (RMSE)، کمترین مقدار مربع کای ( $\chi^2$ ) و مجموع مربعات خطا (SSE) برای تعیین بهترین مدل در هر قسمت استفاده شد (Yi *et al.*, 2012):

$$R^2 = 1 - \frac{\sum_{i=1}^n (y_{exp,i} - y_{pre,i})^2}{\sum_{i=1}^n (y_{pre,i} - \bar{y}_{pre})^2} \quad (7)$$

$$RMSE = \sqrt{\frac{\sum_{i=1}^n (y_{i,exp} - y_{i,pre})^2}{n}} \quad (8)$$

$$\chi^2 = \frac{\sum_{i=1}^n (y_{exp,i} - y_{pre,i})^2}{n-p} \quad (9)$$

$$SSE = \sum_{i=1}^n (y_{pre,i} - \bar{y}_{pre})^2 \quad (10)$$

در این روابط  $n$  تعداد تکرار،  $p$  تعداد ثابت‌های مدل،  $pre$  فراسنجه‌های مربوط به مدل و  $exp$  فراسنجه‌های مربوط به آزمایش‌های تجربی است. داده‌برداری در این پژوهش با سه تکرار انجام گرفت.

#### مدل‌سازی جرم حجمی

برای جرم حجمی ظاهری میگو (Suvarnakuta, Devahastin & Mujumdar, 2007) رابطه تجربی (۶) را که با محتوای رطوبتی مرتبط است پیشنهاد داده‌اند:

$$\rho = c_1 + c_2 \left( \frac{X}{X+1} \right) \quad (6)$$

که در آن  $\rho$  جرم حجمی ( $\text{kg m}^{-3}$ )،  $X$  محتوای رطوبتی میگو بر مبنای خشک ( $\text{kg kg}^{-1}$ )،  $c_1$  و  $c_2$  ضرایب تجربی وابسته به دما هستند. در پژوهش حاضر از این مدل برای بیان تغییرات جرم حجمی میگو نسبت به محتوای رطوبتی استفاده شد.

#### تحلیل آماری

در تمامی موارد مطرح‌شده برای تخمین فراسنجه‌ها و ضرایب در هر یک از مدل‌ها، از روش برازش غیرخطی منحنی استفاده شد. برای این منظور از نرم‌افزار matlab R2018 و تابع lsqcurvefit نوار ابزار



## نتایج و بحث

## چروکیدگی

با استخراج ضرایب مدل‌های مختلف چروکیدگی، مدل‌ها بر اساس شاخص‌های آماری در نظر گرفته شده مورد ارزیابی قرار گرفتند. جدول ۳ ضرایب استخراج شده و شاخص‌های آماری برای مدل‌های مختلف چروکیدگی را نشان می‌دهد. نتایج حاصل نشان داد که مدل خطی (مدل ۱) با داشتن شاخص‌های آماری مناسب، بهترین مدل برای تفسیر داده‌های تجربی است. نتایج تحقیقات پژوهشگران

مختلف در مواد غذایی نظیر سیب (Moreira, Figueiredo & Sereno, 2000)، هویج (Hatamipour & Mowla, 2002)، گیلاس (Ochoa et al., 2002)، گوشت ماهی (Park, 1998) و گوشت خوک (Clemente, Sanjuan & Mulet, 2009) نیز مبین این مطلب است که مدل خطی تفسیر مناسبی از فرآیند چروکیدگی ارائه می‌دهد. شکل ۳ نمونه خشک شده و رابطه بین داده‌های تجربی و داده‌های مدل انتخابی (مدل خطی) در پژوهش حاضر را نشان می‌دهد.

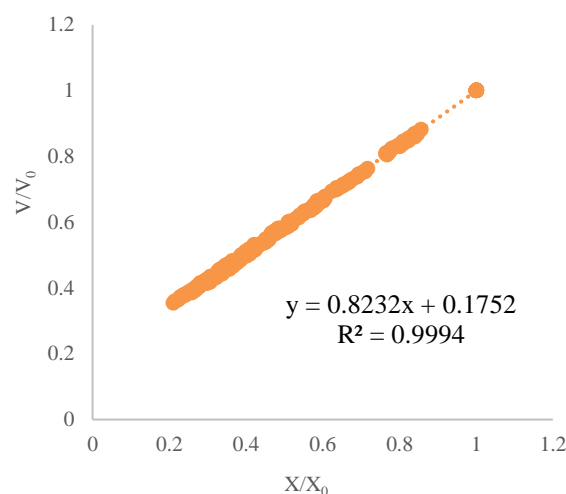
جدول ۳- ضرایب و شاخص‌های آماری استخراج شده برای مدل‌های مختلف چروکیدگی میگو

Table 3- Extracted coefficients and statistical indices for different models of shrimp shrinkage

مدل Model	ضرایب ثابت مدل‌ها Constant coefficients of models					R <sup>2</sup>	χ <sup>2</sup>	RMSE	SSE
	a	b	c	d	k				
1	0.823	0.175	-	-	-	0.999	2.16E-05	0.0046	2.15E-05
2	0.132	-4.597	1.882	-	-	0.981	0.0006	0.0260	0.0006
3	0.243	0.103	0.042	-2.2E-14	6.836	0.985	0.0005	0.0229	0.0005
4	0.183	0.790	0.260	-	-	0.991	2E-05	0.0044	1.97E-05
5	0.313	1.192	-	-	-	0.985	0.0005	0.0234	0.0005



a



b

شکل ۳- a) نمونه خشک شده ورقه گوشت میگو و b) تغییرات بین داده‌های تجربی و داده‌های مدل انتخابی (مدل ۱) برای چروکیدگی ورقه گوشت میگو

Fig.3. a) Dried shrimp meat slab samples and b) variations between experimental data and data of the selected model (Model 1) for shrimp meat slab shrinkage

خطی است، اما در مواد با محتوای رطوبتی پایین دمای انتقال شیشه‌ای افزایش می‌یابد و ماده با تغییر فاز وارد حالت شیشه‌ای می‌شود. در موادی نظیر گوشت مرغ، گوشت ماهی تن و گوشت خوک که محتوای رطوبتی بالایی دارند این تغییر فاز در دماهای زیر صفر درجه سلسیوس رخ می‌دهد (Clemente et al., 2009). با توجه به این که میگو محصولی با محتوای رطوبتی بالا است و فرآوری آن نیز

بر اساس پژوهش انجام شده بین چروکیدگی و دمای انتقال شیشه‌ای ارتباط وجود دارد (Achanta, Okos, Cushman & Kessler, 1997). مواد جامد بی‌شکل (آمورف) در دمای موسوم به دمای شیشه‌ای از حالت جامد به شکل لاستیکی درمی‌آیند. در مواد غذایی با محتوای رطوبتی بالا ماده در حالت لاستیکی قرار دارد و تغییرات بین چروکیدگی و کم شدن میزان آب محصول به صورت

جدول ۴ ثابت‌های استخراج‌شده برای هر مدل و در جدول ۵ شاخص‌های آماری مربوط به هر مدل ارائه گردیده است. با توجه به نتایج حاصل‌شده، مدل توزیع ویبال در هر سه سطح دمایی در نظر گرفته‌شده دارای بیشترین ضریب تبیین ( $R^2$ ) و کمترین ریشه میانگین مربعات خطا (RMSE)، مربع کای ( $\chi^2$ ) و مجموع مربعات خطا (SSE) است. بنابراین مدل ویبال به‌عنوان بهترین مدل برای بیان سینتیک خشک‌کردن ورقه گوشت میگو پیشنهاد می‌شود. این انطباق مناسب در شکل ۴ قابل مشاهده است.

در درجه حرارت‌های بالا صورت می‌پذیرد، بنابراین تغییر فازی در آن رخ نمی‌دهد و در نتیجه تغییرات خطی بین چروکیدگی و میزان رطوبت دور از انتظار نیست. با توجه به اهمیت چروکیدگی و تأثیر زیادی که بر فرآیند خشک‌کردن دارد، این پدیده حتماً بایستی در شبیه‌سازی ریاضی فرآیند خشک‌کردن در نظر گرفته شود.

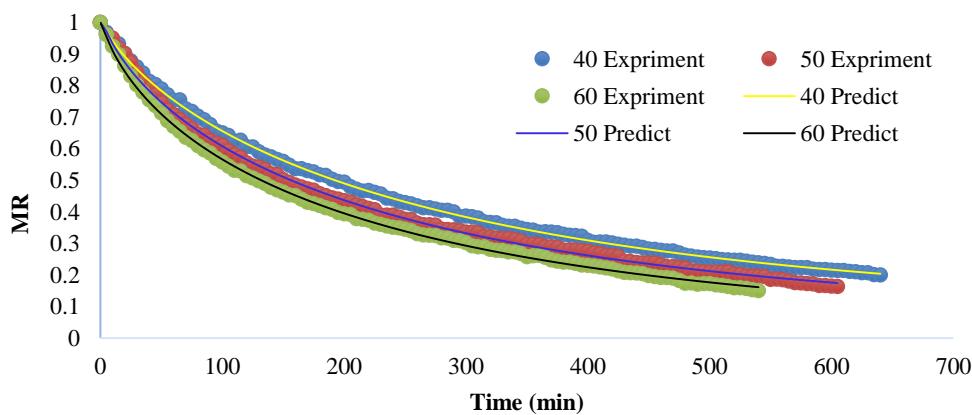
### خشک کردن

فرآیند خشک‌کردن ورقه‌های میگو در هر سطح دمایی با استفاده از ۸ مدل ارائه‌شده در جدول ۱ با داده‌های تجربی برآزش شدند. در

جدول ۴- ضرایب ثابت مدل‌های مختلف خشک‌کردن ورقه گوشت میگو

Table 4- Constant coefficients of different models of shrimp meat slab drying

نام مدل Model	دمای خشک‌کردن Drying temperature (°C)	ضرایب ثابت مدل‌ها Constant coefficients of models				
		a	b	c	k	n
Newton	40	-	-	-	5.17E-05	-
	50	-	-	-	6.15E-05	-
	60	-	-	-	7.19E-05	-
Henderson & Pabis	40	0.885	-	-	4.41E-05	-
	50	0.873	-	-	5.19E-05	-
	60	0.861	-	-	5.97E-05	-
Logarithmic	40	0.778	-	0.174	7.54E-05	-
	50	0.778	-	0.160	8.88E-05	-
	60	0.783	-	0.0001	0.15	-
Logestic	40	1.081	0.222	-	4.41E-05	-
	50	1.072	0.227	-	5.19E-05	-
	60	1.062	0.233	-	5.97E-05	-
Two-term exponential	40	0.188	-	-	0.0002	-
	50	0.197	-	-	0.0002	-
	60	0.196	-	-	0.0003	-
Simplified Fick's diffusion	40	0.885	1.18E-05	0.157	-	-
	50	0.873	1.39E-05	0.156	-	-
	60	0.861	0.0003	2.39	-	-
Wang & Singh	40	-5E-05	8E-10	-	-	-
	50	-5.6E-05	9.89E-10	-	-	-
	60	-6.5E-05	0.128E-10	-	-	-
Weibull distribution	40	0.074	-0.94	-	0.0006	0.76
	50	0.049	-0.98	-	0.0011	0.71
	60	0.016	-1.02	-	0.0016	0.68



شکل ۴- نمودار تغییرات رطوبت نسبی واقعی و پیش‌بینی‌شده نسبت به زمان با مدل ویبال

Fig.4. Diagram of actual and predicted relative humidity vs. time with Weibull model

جدول ۵- شاخص‌های آماری مدل‌های مختلف خشک کردن ورقه گوشت میگو

Table 5- Statistical indices of different models of shrimp meat slab drying

نام مدل Model	دمای خشک کردن Drying temperature (°C)	R <sup>2</sup>	χ <sup>2</sup>	RMSE	SSE
Newton	40	0.986	0.0024	0.0491	0.0024
	50	0.982	0.0029	0.0536	0.0028
	60	0.983	0.0031	0.0562	0.0031
Henderson & Pabis	40	0.978	0.0009	0.0299	0.0008
	50	0.973	0.0012	0.0343	0.0011
	60	0.973	0.0011	0.0342	0.0011
Logarithmic	40	0.996	0.0001	0.0118	0.0001
	50	0.993	0.0002	0.0168	0.0003
	60	0.991	0.0003	0.0185	0.0003
Logestic	40	0.979	0.0009	0.0299	0.0008
	50	0.973	0.0012	0.0343	0.0011
	60	0.973	0.0012	0.0343	0.0011
Two-term exponential	40	0.996	0.0004	0.0216	0.0004
	50	0.994	0.0006	0.0259	0.0006
	60	0.994	0.0008	0.0282	0.0008
Simplified Fick's diffusion	40	0.978	0.0009	0.0299	0.0008
	50	0.973	0.0012	0.0343	0.0011
	60	0.973	0.0012	0.0343	0.0011
Wang & Singh	40	0.977	0.0019	0.0437	0.0019
	50	0.965	0.0030	0.0543	0.0029
	60	0.961	0.0036	0.0596	0.0035
Weibull distribution	40	0.999	2.39E-05	0.0048	2.32E-05
	50	0.998	7.2E-05	0.0083	6.97E-05
	60	0.998	6.29E-05	0.0077	6.06E-05

(Corzo & Bracho, 2008). همچنین مدل ویبال بدلیل سادگی و قابلیت انعطاف به خوبی می‌تواند رفتار سینتیکی محصولات در حال خشک شدن را پیش‌بینی کند (Ling, Teng & Lin, 2018). نکته حائز اهمیت دیگر وابستگی ضرایب مدل به درجه حرارت هوای خشک کن است، که نتایج سایر پژوهش‌ها نیز مبین این مطلب است.

#### جرم حجمی

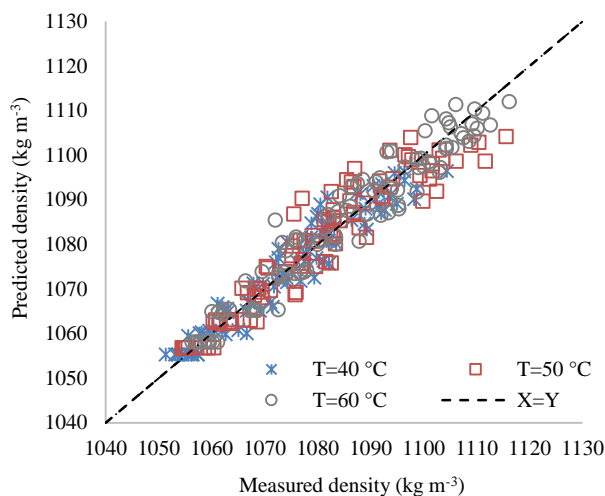
با برآزش داده‌های تجربی بر رابطه (۶) ثابت‌های مدل در نظر گرفته شده برای جرم حجمی ظاهری میگو به صورت جداگانه در هر سطح دمایی محاسبه شدند که ضرایب آن در جدول ۶ ارائه شده است. افزون بر آن، شکل ۵ انطباق مناسب بین داده‌های تجربی و داده‌های پیش‌بینی شده توسط مدل برای جرم حجمی ظاهری میگو را به نمایش گذاشته است.

نتایج به دست آمده در این بخش منطبق با پژوهش‌های مختلفی است که در زمینه کاربرد مدل ویبال در صنایع غذایی و فرآیند خشک کردن محصولات مختلف انجام شده است. پژوهشگران متعددی برای بررسی سینتیک خشک شدن محصولاتی نظیر انبه (Corzo, Bracho & Pereira, 2008)، ورقه‌های ماهی ساردین (Corzo & Bai et al., 2008)، عناب (Yi et al., 2012)، انگور (Bracho, 2008)، سیب‌زمینی (Dai et al., 2018) و ماش سیاه (Sunil, Negi & Pare, 2022) از مدل توزیع ویبال استفاده نموده‌اند. مطابق نتایج حاصل در این پژوهش‌ها مدل ویبال به خوبی قابلیت پیش‌بینی تغییرات در محتوای رطوبت در طول فرآیند خشک کردن دارا بود. دلیل این موضوع به ویژگی‌های تابع یادشده از جمله رابطه دمایی غیرخطی باز می‌گردد. این مدل به خوبی قابلیت توصیف رفتار پدیده‌هایی را که درجات مختلفی از تغییرپذیری را نشان می‌دهند دارد

جدول ۶- ضرایب تجربی رابطه ۶ در دماهای مختلف خشک کردن

Table 6- Experimental coefficients of Equation 6 at different drying temperatures

دمای خشک کن Drying temperature (°C)	C <sub>1</sub>	C <sub>2</sub>	R <sup>2</sup>
40	1193.7	-170.17	0.918
50	1187.9	-163.35	0.895
60	1182.3	-156.15	0.937



**شکل ۵-** داده‌های تجربی جرم حجمی میگو در مقابل داده‌های پیش‌بینی شده در دماهای مختلف خشک‌کردن  
**Fig.5.** Experimental data of shrimp density versus predicted data at different drying temperatures

گرفت که با افزایش تعداد جمله‌ها بیشتر از ۱۰۰، اثر قابل‌ملاحظه‌ای در خروجی مدل مشاهده نمی‌شود. بر همین اساس تعداد جملات بسط قانون فیک (رابطه ۳) برابر ۱۰۰ در نظر گرفته شد. تغییرات در ضریب انتشار مؤثر میگو در طی فرآیند خشک‌شدن با تخمین ضرایب رابطه (۵) به‌دست آمد. مطابق نتایج حاصل‌شده رابطه (۱۱) برای تخمین ضریب انتشار مؤثر میگو مشخص شد:

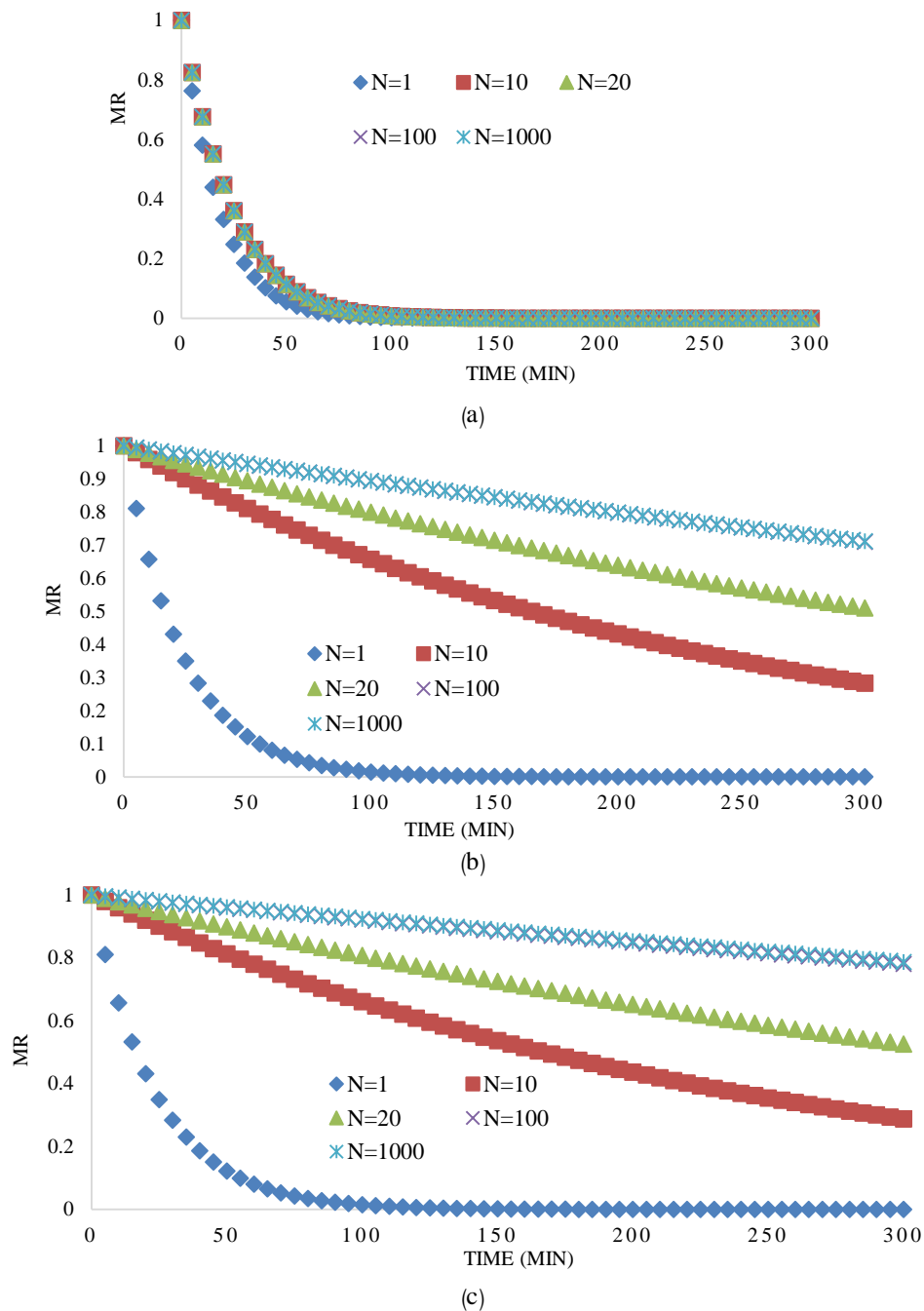
$$D_e = 0.0002 \exp\left(-\frac{4612.96}{273.15+T} + 0.839X\right) \quad (11)$$

در تفسیر منحنی‌های خشک‌شدن پدیده چروکیدگی و تغییرات ضریب انتشار رطوبت اهمیت به‌سزایی دارند (Amankwah *et al.*, 2018). تخمین مناسب از ضریب انتشار مؤثر زمانی حاصل می‌شود که چروکیدگی و ضریب انتشار هر دو، به‌صورت تابعی از رطوبت در نظر گرفته شوند (Ruiz-López & García-Alvarado, 2007). رابطه (۱۱) علاوه بر داشتن موارد فوق دارای چهارچوبی مشابه سایر مواد غذایی است. از معادلاتی مشابه برای تخمین تغییرات ضریب انتشار مؤثر هویج (Zielinska & Markowski, 2007)، گوشت گوساله (Trujillo, Wiangkaew & Tuan Pham, 2007) و ماهی تیلاپیا (Komolafe *et al.*, 2018) نسبت به دما و رطوبت استفاده شده است.

طبق نتایج حاصله جرم حجمی ظاهری نمونه‌های میگو در دامنه  $1050-1117 \text{ kg m}^{-3}$  تغییر می‌کند. با توجه به گزارش ارائه‌شده دامنه تغییرات جرم حجمی ظاهری میگو در محدوده  $1093-1042 \text{ kg m}^{-3}$  در دمای ۲۰ درجه سلسیوس است (Shafiur Rahman & Driscoll, 1993). در موادی نظیر گوشت میگو به‌دلیل ضعیف شدن پیوند مولکولی در ساختارهای پروتئینی در زمان خشک‌شدن، پدیده چروکیدگی رخ می‌دهد (Kassama & Ngadi, 2004). این پدیده به‌نوبه خود باعث ایجاد تغییرات حجمی می‌شود، که در نهایت به تغییر در جرم حجمی ظاهری منجر می‌شود. علاوه بر این عواملی مانند هندسه نمونه، روش خشک‌کردن، شرایط انجام آزمایش و دما نیز می‌تواند جرم حجمی ظاهری را تحت تأثیر قرار دهد (Kassama & Ngadi, 2016).

#### معادله ضریب انتشار مؤثر رطوبت

در این بخش، ابتدا رابطه (۳) با در نظر گرفتن تعداد جملات بیان‌شده (1,10,20,100,1000) با فرض ضریب انتشار نمونه‌ها، مطابق با الگوریتم ارائه‌شده بسط داده شد. در هر مقدار از ضریب انتشار ثابت در نظر گرفته‌شده، اثر تعداد جملات بر روی تغییرات نسبت رطوبت در مقابل زمان مورد بررسی قرار گرفت که نتایج حاصل در شکل ۶ ارائه شده است. بر اساس مقایسه نمودارها می‌توان نتیجه



شکل ۶- نتایج بسط تقریبی معادله انتشار در ضرایب انتشار ثابت: (a)  $D=1 \times 10^{-7} \text{ m}^2 \text{ s}^{-1}$  (b)  $D=1 \times 10^{-10} \text{ m}^2 \text{ s}^{-1}$  (c)  $D=5 \times 10^{-11} \text{ m}^2 \text{ s}^{-1}$

Fig.6. Effect of the constant diffusion coefficient on the approximate expansion of the diffusion equation: a)  $D = 1 \times 10^{-7} \text{ m}^2 \text{ s}^{-1}$ , b)  $D = 1 \times 10^{-10} \text{ m}^2 \text{ s}^{-1}$ , and c)  $D = 5 \times 10^{-11} \text{ m}^2 \text{ s}^{-1}$

جدول ۷- شاخص های آماری به دست آمده برای تخمین ضرایب رابطه (۵) در دماهای مختلف خشک کردن

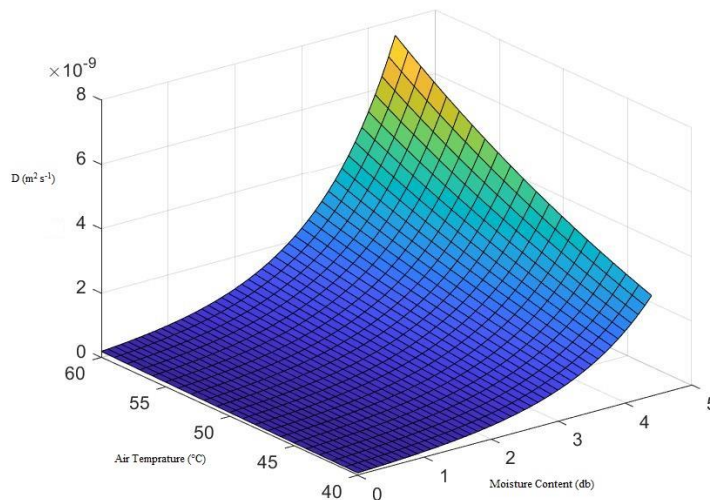
Table 7- Statistical indices obtained for estimating the coefficients of Equation 5 at different drying temperatures

دمای خشک کن			
Drying temperature	R <sup>2</sup>	RMSE	SSE
(°C)			
40	0.999	0.0082	6.78E-05
50	0.998	0.0158	0.0003
60	0.999	0.0108	0.0001

Costa, Silva, Rodrigues, Silva & Cruz) ۲/۹۶۰×۱۰<sup>-۹</sup> (Rodrigues, 2018) برای ضریب انتشار مؤثر میگو نیز گزارش شده است. علت اختلاف بین نتایج پژوهش‌های مختلف را می‌توان به لحاظ کردن یا نکردن پدیده چروکیدگی طی فرآیند خشک کردن مرتبط دانست. ضریب انتشار مؤثر به دست آمده در تحقیق حاضر با در نظر گرفتن چروکیدگی از طریق رابطه (۴) حاصل شده است، در حالی که اگر ضریب انتشار با فرض چروکیدگی قابل چشم‌پوشی به دست آمده باشد به دلیل مسیر طولانی‌تر انتشار رطوبت بالاتر خواهد بود (Zielinska & Markowski, 2007). علاوه بر این تغییرات در دامنه مقادیر ضریب انتشار را می‌توان به عواملی مانند انواع و شرایط روش‌های آزمایشگاهی مورد استفاده برای تعیین ضریب انتشار مؤثر، روش پردازش داده‌ها، پیچیدگی ساختار ماده غذایی، دمای خشک کردن و میزان رطوبت مرتبط دانست (Costa et al., 2018).

در جدول ۷ شاخص‌های آماری مربوط به تخمین ضرایب رابطه (۵) در هر سطح دمای خشک‌کن ارائه شده است. مطابق نتایج حاصل و ضرایب تبیین به دست آمده، رابطه (۱۱) به خوبی می‌تواند تخمین مناسبی از ضریب انتشار میگو در محدوده آزمایش‌های تجربی انجام شده ارائه دهد. شکل ۷ میزان تغییرات ضریب انتشار مؤثر میگو در مقابل تغییرات دما و محتوای رطوبتی مطابق رابطه (۱۱) را نشان می‌دهد، به نحوی که با افزایش دمای خشک کردن و افزایش محتوای رطوبتی، ضریب انتشار مؤثر میگو افزایش می‌یابد.

محدوده تغییرات ضریب انتشار مؤثر میگو طبق نتایج حاصل شده در دامنه  $0.08 \times 10^{-9} \text{ m}^2 \text{ s}^{-1}$  تا  $7.39 \times 10^{-9} \text{ m}^2 \text{ s}^{-1}$  گزارش شده است که در محدوده مورد انتظار برای مواد غذایی خشک شده (از  $10^{-12} \text{ m}^2 \text{ s}^{-1}$  تا  $10^{-8}$ ) قرار دارد (Giovannelli, Zanini, Lavelli & Nani, 2002; Gely & Santalla, 2007; Falade & Solademi, 2010). دامنه‌های  $0.21 \times 10^{-9} \text{ m}^2 \text{ s}^{-1}$  تا  $4.34 \times 10^{-9} \text{ m}^2 \text{ s}^{-1}$  و  $1/489 \times 10^{-8} \text{ m}^2 \text{ s}^{-1}$  تا  $1 \text{ m}^2 \text{ s}^{-1}$  (Nguyen et al., 2019)



شکل ۷- تغییرات در ضریب نفوذ مؤثر میگو در مقابل تغییرات دما و محتوای رطوبت

Fig.7. Variations in the effective diffusion coefficient of shrimp versus changes in temperature and moisture content

خطا (SSE)، بهترین مدل برای تفسیر چروکیدگی در دماهای مورد آزمایش بود. همچنین مدل تجربی توزیع ویبال در محدوده دمایی ارزیابی شده با داشتن بهترین شاخص‌های آماری مناسب‌ترین مدل برای بیان تغییرات نسبت رطوبت ورقه‌های گوشت میگو در مقابل زمان است. طبق نتایج حاصل شده در این پژوهش مدل آرنیوس پیشنهادی برای پیش‌بینی ضریب انتشار مؤثر ورقه میگو به خوبی می‌تواند تغییرات ضریب انتشار ورقه گوشت میگو را نسبت به دما و

## نتیجه‌گیری

در پژوهش حاضر سینتیک خشک کردن ورقه‌های گوشت میگو، تغییرات چروکیدگی و رابطه ضریب انتشار مؤثر ورقه‌های گوشت میگو مورد مطالعه قرار گرفت. مطابق نتایج، در بین مدل‌های چروکیدگی ارزیابی شده مدل خطی با بالاترین ضریب تبیین ( $R^2$ ) و کمترین ریشه میانگین مربعات خطا (RMSE)، مربع کای ( $\chi^2$ ) و مجموع مربعات

### مشارکت نویسندگان

محسن المعی: جمع‌آوری داده‌ها، پردازش داده‌ها، تصویرسازی نتایج، استخراج و تهیه متن اولیه  
سید مهدی نصیری: نظارت و مدیریت، مفهوم‌سازی، روش‌شناسی، مشاوره فنی، ویرایش متن  
محمد امین نعمت‌اللهی: مشاوره فنی، شبیه‌سازی عددی/کامپیوتری، اعتبارسنجی، ویرایش متن  
داریوش زارع: مشاوره فنی، ویرایش متن  
محمد خرم: مشاوره فنی، ویرایش متن

محتوای رطوبت در محدوده دمایی مورد ارزیابی پیش‌بینی کند. افزون بر آن، مشخص شد بسط قانون دوم فیک بیش از ۱۰۰ جمله اثر قابل توجهی بر خروجی مدل ندارد و بسط ۱۰۰ جمله برای این قانون پیشنهاد می‌شود.

### سپاسگزاری

هزینه‌های این پژوهش از گرنت پژوهشی به شماره ۱۹۷۱ توسط معاونت پژوهشی دانشگاه شیراز تامین شده است که به این وسیله قدردانی می‌شود.

### References

- Achanta, S., Okos, M. R., Cushman, J. H., & Kessler, D. P. (1997). Moisture transport in shrinking gels during saturated drying. *Association of International Chemical Engineers Journal*, 43(8), 2112-2122. <https://doi.org/10.1002/aic.690430818>
- Akonor, P. T., Ofori, H., Dzedzoave, N. T., & Kortei, N. K. (2016). Drying characteristics and physical and nutritional properties of shrimp meat as affected by different traditional drying techniques. *International Journal of Food Science*, 2016. 7879097. <https://doi.org/10.1155/2016/7879097>
- Al-Hilphy, A., Al-Mtury, A., Al-Iessa, S., Gavahian, M., Al-Shatty, S., Jassim, M., & Mohusen, Z. (2022). The pilot-scale rotary infrared dryer of shrimp (*Metapenaeus affinis*): mathematical modeling and effect on the chemical, color components, and sensory attributes. *Journal of Food Process Engineering*, 45(6). <https://doi.org/10.1111/jfpe.13945>
- Amankwah, E. A., Dzisi, K. A., Staten, G., & Boxtel, A. J. B. (2018). Moisture Dependent Diffusion and Shrinkage in Yam during Drying. *International Journal of Food Engineering*. <https://doi.org/10.1515/ijfe-2017-0394>
- Anabel, F., Celia, R., Germán, M., & Rosa, R. (2018). Determination of effective moisture diffusivity and thermodynamic properties variation of regional wastes under different atmospheres. *Case Studies in Thermal Engineering*, 12(2018), 248-257. <https://doi.org/10.1016/j.csite.2018.04.015>
- Aniesrani Delfiya, D. S., Murali, S., Alfiya, P. V., & Samuel, M. P. (2020). Drying characteristics of shrimp (*Metapenaeus dohsoni*) in electrical dryer. *Pantnagar Journal of Research*, 18(3), 281-285.
- Anonymous. (2020). *Iran Fisheries Organization statistical yearbook, 2014-2020*. Iran Fisheries Organization Tehran. Iran. (in Persian).
- Azimi, M. J. (2016). *Cabinet Drying, Freeze Drying and Sun Drying methods of shrimp and study of its Physicochemical and Microbial*. M.Sc. dissertation. University of Shiraz. Shiraz. (in Persian).
- Azzouz, S., Guizani, A., Jomma, W., & Belghith, A. (2002). Moisture diffusivity and drying kinetic equation of convective drying of grapes. *Journal of Food Engineering*, 55(4), 323-330. [https://doi.org/10.1016/S0260-8774\(02\)00109-7](https://doi.org/10.1016/S0260-8774(02)00109-7)
- Bai, J., Wang, J., Xiao, H., Ju, H., Liu, Y., & Gao, Z. (2013). Weibull distribution for modeling drying of grapes and its application. *Transactions of the Chinese Society of Agricultural Engineering*, 29(16), 278-285.
- Blikra, M. J., Skipnes, D., & Feyissa, A. H. (2019). Model for heat and mass transport during cooking of cod loin in a convection oven. *Food Control*, 102, 29-37. <https://doi.org/10.1016/j.foodcont.2019.03.001>
- Buzrul, S. (2022). Reassessment of Thin-Layer Drying Models for Foods: A Critical Short Communication. *Processes*, 10(1), 118. <https://doi.org/10.3390/pr10010118>
- Ceylan, İ. (2008). Determination of drying characteristics of timber by Using artificial neural networks and mathematical models. *Drying Technology*, 26(12), 1469-1476. <https://doi.org/10.1080/07373930802412132>
- Clemente, G., Bon, J., Sanjuan, N., & Mulet, A. (2009). Determination of Shrinkage Function for Pork Meat Drying. *Drying Technology*, 27(1), 143-148. <https://doi.org/10.1080/07373930802566051>
- Corzo, O., & Bracho, N. (2008). Application of Weibull distribution model to describe the vacuum pulse osmotic dehydration of sardine sheets. *Lwt- Food Science and Technology*, 41(6), 1108-1115. <https://doi.org/10.1016/j.lwt.2007.06.018>
- Corzo, O., Bracho, N., Pereira, A. & Vásquez, A. (2008). Weibull distribution for modeling air drying of coroba slices. *Lwt- Food Science and Technology*, 41(10), 2023-2028. <https://doi.org/10.1016/j.lwt.2008.01.002>
- Costa, M. V., Silva, A. K. N., Rodrigues, P. R., Silva, L. H. M., & Cruz Rodrigues, A. M. (2018). Prediction of

- moisture transfer parameters for convective drying of shrimp at different pretreatments. *Food Science and Technology*, 38(4), 612-618. <https://doi.org/10.1590/fst.31517>
18. Dai, J. W., Wang, J., Ren, L., Liu, Y. W., & Zhang, L. H. (2018). *Mathematical model of potato slices under process-based temperature and humidity integration control of tilted tray air impingement drying*. In: Proceedings of 7<sup>th</sup> International Conference on Energy and Environmental Protection (ICEEP 2018). 14-15 July. Shenzhen, China. pp. 50-56. <https://doi.org/10.2991/iceep-18.2018.9>
  19. Doymaz, İ. (2008). Convective drying kinetics of strawberry. *Chemical Engineering and Processing: Process Intensification*, 47(5), 914-919. <https://doi.org/10.1016/j.cep.2007.02.003>
  20. Erşan, A. C., & Tugrul, N. (2020). The drying kinetics and characteristics of Shrimp dried by conventional methods. *Chemical Industry and Chemical Engineering Quarterly*, 27(4), 319-328. <https://doi.org/10.2298/ciceq201114050e>
  21. Falade, K. O., & Solademi, O. J. (2010). Modelling of air drying of fresh and blanched sweet potato slices. *International Journal of Food Science & Technology*, 45(2), 278-288. <https://doi.org/10.1111/j.1365-2621.2009.02133.x>
  22. Farhang, A., Hosainpour, A., Darvishi, H., & Nargesi, F. (2011). Shrimp drying characterizes undergoing microwave treatment. *Journal of Agricultural Science*, 3(2), 157-164. <https://doi.org/10.5539/jas.v3n2p157>
  23. Gaikwad, P. S., Sunil, C. K., Negi, A., & Pare, A. (2022). Effect of microwave assisted hot-air drying temperatures on drying kinetics of dried black gram papad (Indian snack food) Drying characteristics of black gram papad. *Applied Food Research*, 2(2022). <https://doi.org/10.1016/j.afres.2022.100144>
  24. Gely, M. C., & Santalla, E. M. (2007). Moisture diffusivity in quinoa (*Chenopodium quinoa* Willd.) seeds: Effect of air temperature and initial moisture content of seeds. *Journal of Food Engineering*, 78(3), 1029-1033. <https://doi.org/10.1016/j.jfoodeng.2005.12.015>
  25. Giovanelli, G., Zanoni, V., Lavelli, V., & Nani, R. (2002). Water sorption, drying and antioxidant properties of tomato products. *Journal of Food Engineering*, 52(2), 135-141. [https://doi.org/10.1016/S0260-8774\(01\)00095-4](https://doi.org/10.1016/S0260-8774(01)00095-4)
  26. Guiné, R. d. P. F. (2006). Influence of drying method on density and porosity of pears. *Food and Bioproducts Processing*, 84(3), 179-185. <https://doi.org/10.1205/fbp.05106>
  27. Hashemi, G., Mowla, D., & Kazemini, M. (2009). Moisture diffusivity and shrinkage of broad beans during bulk drying in an inert medium fluidized bed dryer assisted by dielectric heating. *Journal of Food Engineering*, 92(3), 331-338. <https://doi.org/10.1016/j.jfoodeng.2008.12.004>
  28. Hatampour, M. S., & Mowla, D. (2002). Shrinkage of carrots during drying in an inert medium fluidized bed. *Journal of Food Engineering*, 55(3), 247-252. [https://doi.org/10.1016/S0260-8774\(02\)00082-1](https://doi.org/10.1016/S0260-8774(02)00082-1)
  29. Kaminski, E., Szarycz, M., & Janowicz, L. (1996) *The kinetics of drying sliced apples in the conditions of natural convection*. In: Proceedings of 7<sup>th</sup> Seminar on Properties of water in foods. Warsaw Agricultural University. Warsaw. Poland. pp. 24-34.
  30. Kassama, L. S., & Ngadi, M. O. (2004). Pore development in chicken meat during deep-fat frying. *LWT Food Science and Technology*, 37(8), 841-847. <https://doi.org/10.1016/j.lwt.2004.03.010>
  31. Kassama, L. S., & Ngadi, M. O. (2016). Shrinkage and density change of de-boned chicken breast during deep-fat frying. *Food and Nutrition Sciences*, 2016(7), 895-905. <https://doi.org/10.4236/fns.2016.710089>
  32. Komolafe, C. A., Oluwaleye, I. O., Adejumo, A. O. D., Waheed, M. A., & Kuye, S. I. (2018). Determination of moisture diffusivity and activation energy in the convective drying of fish. *International Journal of Heat and Technology*, 36(4), 1262-1267. <https://doi.org/10.18280/ijht.360414>
  33. Ling, J., Teng, Z., & Lin, H. (2018). Improved method for prediction of milled rice moisture content based on Weibull distribution. *International Journal of Agricultural & Biological Engineering*, 11(3), 159-165. <https://doi.org/10.25165/j.ijabe.20181103.3429>
  34. Manjeet, S. C. (1984). Evaluation of selected mathematical models for describing Thin-Layer drying of In-Shell Pecans. *Transactions of the ASAE*, 27(2), 610-615. <https://doi.org/10.13031/2013.32837>
  35. Mayor, L., & Sereno, A. M. (2004). Modelling shrinkage during convective drying of food materials: a review. *Journal of Food Engineering*, 61(3), 373-386. [https://doi.org/10.1016/S0260-8774\(03\)00144-4](https://doi.org/10.1016/S0260-8774(03)00144-4)
  36. Mohebi, M., Akbarzadeh, M. R., Shahidi, F., & Porshahabi, M. R. (2007). *Investigation of the possibility of using the visual machine and artificial neural network in predicting the moisture content of dried shrimp*. In proceeding of 4<sup>th</sup> Iranian Machine Vision and Image Processing Conference. 14-15 Feb. Ferdowsi university of Mashhad. Mashhad. Iran. (in Persian).
  37. Moreira, R., Figueiredo, A., & Sereno, A. (2000). Shrinkage of apple disks during drying by warm air convection and freeze drying. *Drying Technology*, 18(1-2), 279-294. <https://doi.org/10.1080/07373930008917704>
  38. Mulet, A., Garcia Reverter, J., Bon, J., & Berna, A. (2000). Effect of shape on potato and cauliflower shrinkage during drying. *Drying Technology*, 18(6), 1201-1219. <https://doi.org/10.1080/07373930008917772>
  39. Murali, S., Aniesrani Delfiya, D. S., Sathish Kumar, K., Kumar, L. R. G., Ezhil Nilavan, S., Amulya, P. R., Krishnan, V. S., Alfiya P. V., & Samuel M. P. (2021) Mathematical modeling of drying kinetics and quality characteristics of shrimps dried under a Solar-LPG hybrid dryer. *Journal of Aquatic Food Product Technology*,



- 30(5), 561-578. <https://doi.org/10.1080/10498850.2021.1901814>
40. Nguyen, M. P., Ngo, T. T., & Le, T. D. (2019). Experimental and numerical investigation of transport phenomena and kinetics for convective shrimp drying. *Case Studies in Thermal Engineering*, 14(2019), 100465. <https://doi.org/10.1016/j.csite.2019.100465>
41. Niamnuy, C., Devahastin, S., Soponronnarit, S., & Raghavan, V. G. S. (2008). Modeling coupled transport phenomena and mechanical deformation of shrimp during drying in a jet spouted bed dryer. *Chemical Engineering Science*, 63(22), 5503-5512. <https://doi.org/10.1016/j.ces.2008.07.031>
42. Ochoa, M. R., Kessler, A. G., Pirone, B. N., Marquez, C. A., & DeMichelis, A. (2002). Volume and area shrinkage of whole sour cherry fruits (*Prunus Cerasus*) during dehydration. *Drying Technology*, 20(1), 147-156. <https://doi.org/10.1081/DRT-120001371>
43. Pabis, S., Jayas, D., & Cenkowski, S. (1998). *Grain drying: Theory and practice*. New York, United States: John Wiley and Sons.
44. Park, K. J. (1998). Diffusional model with and without shrinkage during salted fish muscle drying. *Drying Technology*, 16(3-5), 889-905. <https://doi.org/10.1080/07373939808917443>
45. Porciuncula, B. D. A., Zotarelli, M. F., Carciofi, B. A. M., & Laurindo, J. B. (2013). Determining the effective diffusion coefficient of water in banana (Prata variety) during osmotic dehydration and its use in predictive models. *Journal of Food Engineering*, 119(3), 490-496. <https://doi.org/10.1016/j.jfoodeng.2013.06.011>
46. Queiroz, M. R., & Nebra, S. A. (2001). Theoretical and experimental analysis of the drying kinetics of bananas. *Journal of Food Engineering*, 47(2), 127-132. [https://doi.org/10.1016/S0260-8774\(00\)00108-4](https://doi.org/10.1016/S0260-8774(00)00108-4)
47. Radhakrishnan, S. (1997). *Measurement of thermal properties of seafood*. M.Sc. dissertation. Virginia Polytechnic Institute and State University. Blacksburg, Virginia.
48. Reyes, A., Alvarez, P. I., & Marquardt, F. H. (2002). Drying of carrots in a fluidized bed. I. Effects of drying conditions and modelling. *Drying Technology*, 20(7), 1463-1483. <https://doi.org/10.1081/DRT-120005862>
49. Ruiz-López, I. I., & García-Alvarado, M. A. (2007). Analytical solution for food-drying kinetics considering shrinkage and variable diffusivity. *Journal of Food Engineering*, 79(1), 208-216. <https://doi.org/10.1016/j.jfoodeng.2006.01.051>
50. Shafiur Rahman, M., & Driscoll, R. H. (1994). Density of fresh and frozen seafood. *Journal of Food Process Engineering*, 17(2), 121-140. <https://doi.org/10.1111/j.1745-4530.1994.tb00331.x>
51. Sharaf-Elden, Y. I., Blaisdell, J. L., & Hamdy, M. Y. (1984). A model for ear corn drying. *Transactions of the ASAE*, 23(5), 1261-1265. <https://doi.org/10.13031/2013.34757>
52. Suvarnakuta, P., Devahastin, S., & Mujumdar, A. S. (2007). A mathematical model for low-pressure superheated steam drying of a biomaterial. *Chemical Engineering and Processing: Process Intensification*, 46(7), 675-683. <https://doi.org/10.1016/j.cep.2006.09.002>
53. Tirawanichakul, S., Na Phatthalung, W., & Tirawanichakul, Y. (2011). Drying Strategy of Shrimp using Hot Air Convection and Hybrid Infrared Radiation/Hot Air Convection. *Walailak Journal of Science and Technology (WJST)*, 5(1), 77-100.
54. Toğrul, İ. T., & Pehlivan, D. (2002). Mathematical modelling of solar drying of apricots in thin layers. *Journal of Food Engineering*, 55(3), 209-216. [https://doi.org/10.1016/S0260-8774\(02\)00065-1](https://doi.org/10.1016/S0260-8774(02)00065-1)
55. Trujillo, F. J., Wiangkaew, C., & Tuan Pham, Q. (2007). Drying modeling and water diffusivity in beef meat. *Journal of Food Engineering*, 78, 74-85. <https://doi.org/10.1016/j.jfoodeng.2005.09.010>
56. Vazquez, G., Chenlo, F., Moreira, R., & Costoyas, A. (1999). The dehydration of garlic. 1. Desorption isotherms and modelling of drying kinetics. *Drying Technology*, 17(6), 1095-1108. <https://doi.org/10.1080/07373939908917596>
57. Wang, J., Tang, J., Rasco, B., Sablani, S. S., Ovissipour, M., & Qu, Z. (2018). Kinetics of Quality Changes of Shrimp (*Litopenaeus setiferus*) During Pasteurization. *Food and Bioprocess Technology*, 11, 1027-1038. <https://doi.org/10.1007/s11947-018-2073>
58. Wisaiprom, N., Kasayapanand, N., Pratinthong, N., Songprakorp, R., Thepa, S., & Deeto, S. (2018). The study of shrimp drying by greenhouse drying combined with low humidity air. *International Journal of Smart Grid and Clean Energy*, 7(4), 303-313. <https://doi.org/10.12720/sgce.7.4.303-313>
59. Yi, X. K., Wu, W. F., Zhang, Y. Q., Li, J. X., & Luo, H. P. (2012). Thin-Layer drying characteristics and modeling of Chinese Jujubes. *Mathematical Problems in Engineering*, 2012, 386214. <https://doi.org/10.1155/2012/386214>
60. Zielinska, M., & Markowski, M. (2007). Drying behavior of carrots dried in a spout-fluidized bed dryer. *Drying Technology*, 25(1), 261-270. <https://doi.org/10.1080/07373930601161138>